



بررسی اثر انحنای ذاتی و هیأت اولیه غشاء بر تکامل شکل وزیکول دوفازی

محمد مهدی صاحبی‌فرد^۱، علیرضا شهیدی^{۲*}، سعید ضیایی‌راد^۳

۱- دانشجوی دکتری، مهندسی مکانیک، دانشگاه صنعتی اصفهان، اصفهان

۲- استادیار، مهندسی مکانیک، دانشگاه صنعتی اصفهان، اصفهان

۳- استاد، مهندسی مکانیک، دانشگاه صنعتی اصفهان، اصفهان

* اصفهان، صندوق پستی 8415683111 shahidi@cc.iut.ac.ir

چکیده

در تحقیق پیش رو وابستگی تغییر شکل وزیکول های با غشای دولایه چربی به هیأت اولیه و انحنای ذاتی (عدم تقارن موضعی تک لایه ها) بررسی شده است. از آنجایی که مدل سازی تکاملی به عنوان تعیین و معیار ارزیابی روش های تعادلی مطرح است، از مدل تکاملی استفاده شده که براساس تعادل بین نیروی حاصل از پتانسیل خمشی غشاء و نیروی موضعی اصطکاک سیال محیطی در هر دامنه توسعه یافته و در آن از اثرات اینرسی غشا صرف نظر شده است. پارامترهای مهمی مانند نسبت اندازه هر فاز و نیز اثر حضور پروتئین ها در قالب ترکیبات مختلف انحنای ذاتی در هر دو دامنه مطالعه شده است. شرایط اولیه فرض شده شامل شکل های ساده ای چون دمبلی، مقعرالطرفین و کروی تخت است که معمولاً وزیکول های به این شکل ها در وضعیت های آزاد مشاهده شده اند. برای ارزیابی نتایج بدست آمده از مشاهدات آزمایشگاهی منتشر شده پیش از این استفاده شده است. وضعیت هایی از وزیکول های همگن و دوفازی و گلبول قرمز تحت اثر انواع مکانیسم های القای انحنای ذاتی مانند جنس غشاء، تغییرات غلظت محلول محیطی و پروتئین های غشایی مانند آلبومین در شیوه ای ارائه شده اند. امکان تغییر شکل غشاء در اثر انحنای مشبت یا منفی و بروز پدیده های غشایی با هر شکل اولیه و توزیع انحنای ذاتی مختلف مورد بحث قرار گرفته است.

اطلاعات مقاله

مقاله پژوهشی کامل

دریافت: ۰۸ دی ۱۳۹۵

پذیرش: ۰۹ اسفند ۱۳۹۵

ارائه در سایت: ۱۴ فروردین ۱۳۹۶

کلید واژگان:

وزیکول دوفازی

مدل تکاملی

انحنای ذاتی

هیأت اولیه

بروتئین غشائی

Investigation of spontaneous curvature and membrane initial configuration on shape evolution of two-component vesicle

Mohammad Mahdi Sahebifard¹, Alireza Shahidi^{1*}, Saeid Ziae-Rad¹

۱- Department of Mechanical Engineering, Isfahan University of Technology, Isfahan, Iran.

* P.O.B. 84156-83111 Isfahan, Iran, shahidi@cc.iut.ac.ir

ARTICLE INFORMATION

Original Research Paper

Received 28 December 2016

Accepted 27 February 2017

Available Online 03 April 2017

Keywords:

Two-phase vesicle

Evolutionary model

Spontaneous curvature

Initial configuration

Membrane protein

ABSTRACT

This article aims to study the effect of membrane initial configuration and the membrane spontaneous curvature (local asymmetry of layers) on the shape transformation of lipid bilayer vesicles. Since the evolutionary models are considered as a generalization to the equilibrium methods, the used model is developed based on the dynamic equilibrium between the membrane bending potential and the environmental fluid friction in each domain of two-phase vesicle. The effect of membrane inertia on the dynamics of the system is ignored. Key parameters are the size of each phase and different combinations of protein distribution as the local spontaneous curvature. Assumed initial conditions are simple shapes such as dumbbell, biconcave and oblate; free vesicles are usually visible in these shapes. Previously published experimental observations are used to evaluate the numerical results. Some situations of homogeneous and multi-phase vesicles and red blood cells under the influence of the spontaneous curvature induction mechanisms (for example, the composition of the membranes, membrane proteins such as albumin, environmental solution concentration changes) are simulated and the results presented in detail. The possibility of the membrane deformation and the relation of membrane phenomena with the primary form and various curvature distributions are discussed.

وزیکول ها از یک غشاء دولایه چربی تشکیل شده اند. ساختار چربی ها

درون دولایه یک فاز کریستال مایع^۱ تشکیل می دهد (فازی بین سیال و جامد) که تمام مولکول ها را با یک صلیبت محدود و مشخصی دورهم جمع می کند و این مجموعه می تواند تنفس را ضمن حرکت در محیط اطراف خود تحمل کند. تغییرات شکلی غشاء به پدیده های غشایی منجر می شود که از

وزیکول ها به دلیل نقش در جایه جایی بین سلولی بسیار شناخته شده اند. وزیکول های سینپاپسی و سیتوپلاسمی نمونه هایی که به ترتیب در انتقال پیام ها در سلول های عصبی و انتقال پروتئین بین اندامک های سلولی به روش های درون بری^۲ و برون رانی^۳ فعال است.

۱- مقدمه

¹ liquid crystal

¹ endocytosis
² exocytosis

Please cite this article using:

M. M. Sahebifard, A. Shahidi, S. Ziae-Rad, Investigation of spontaneous curvature and membrane initial configuration on shape evolution of two-component vesicle, *Modares Mechanical Engineering*, Vol. 17, No. 4, pp. 9-16, 2017 (in Persian)

برای ارجاع به این مقاله از عبارت ذیل استفاده نمایید:

www.modares.ac.ir

شده است). شبیه‌سازی برای شکل اولیه‌های مختلف و شناخته شده مانند دمبلي، مقعرالطرفین^۵ و کروی تخت^۶ و به ازای اندازه فاراهای مختلف انجام شده است. در هر حالت اثر ترکیبات مختلف انحنای ذاتی در دو فاز غشاء بر شکل نهایي وزیکول نشان داده شده است. پدیده‌های غشایی برای ارزیابی نتایج به دست آمده ضمن مقایسه شبیه‌سازی‌ها با شواهد تجربی مورد بحث و تحلیل قرار گرفته است.

2- مدل سازی

2-1- هندسه و بردار سرعت

در مطالعه پیش رو یک غشای بسته دولایه چری با تقارن محوری و متشکل از دو فاز مجزا را در نظر می‌گیریم. r و θ مختصات قطبی در صفحه xy بوده و s طول قوس اندازه‌گیری شده از قطب جنوب وزیکول، $0 = z$ است (شکل 1). بردار 3 بعدی $X(s, \theta)$ بیان کننده موقعیت نقاط منطبق بر سطح غشا به صورت رابطه (1) است.

$$X(s, \theta) = \{r(s) \cos \theta, r(s) \sin \theta, z(s)\} \quad (1)$$

ψ زاویه بین راستای افقی و مماس بر سطح در راستای طولی، $\partial X / \partial s = \partial_s X$ درون صفحه عمودی بوده و $\pi \leq \psi \leq 0$ است؛ بنابراین روابط (3,2) را داریم.

$$r' = \cos \psi \quad (2)$$

$$z' = \sin \psi \quad (3)$$

که در آن $d/ds = d/d\psi$ است.

یک پایه متعامد^۷ در صفحه مماس بر این رویه به صورت روابط (5,4) است.

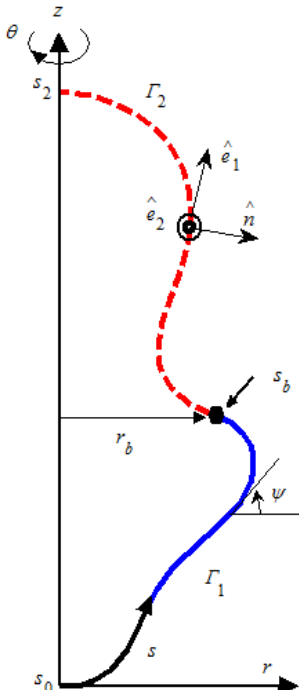


Fig. 1 r and z coordinates in the definition of axial symmetrical geometry along with orthonormal basis at each point on the surface, Index b denotes boundary

شکل 1 مختصات r و z در تعريف هندسه متقارن محوری به همراه وضعیت پایه عمودی در هر نقطه روی سطح، اندیس b به مرز^۸ اشاره دارد.

⁵ biconcave

⁶ oblate

⁷ orthonormal basis

⁸ boundary

جمله آن می‌توان به جوانه‌زنی^۱، هم‌جوشی^۲ و جدایش^۳ اشاره کرد. این شرایط برای وزیکول‌های همگن و نیز غیرهمگن و چندفازی وجود دارد. وقتی یک غشاء از چند نوع مولکول چربی تشکیل شده باشد مولکول‌های هم‌جننس به صورت طبیعی مجتمع و خوش‌های می‌شوند و درنتیجه غشایی با فاراهای کاملاً مجزا تشکیل می‌دهند. وزیکول‌های غیر همگن به عنوان نمونه‌هایی از غشاهای چندفازی در مطالعات آزمایشگاهی مطالعه شده‌اند [1-3].

عوامل مختلفی با توجه به خواص کریستال‌های مایع بر شکل غشاء مؤثر است. به عقیده هلفرش^۴ انرژی خمشی مؤثر و تنش برشی در مدل سازی غشاء بی‌اثر است [4]. روش‌های مختلفی برای شبیه‌سازی غشاء به کار رفته است. محاسبات مولکولی یکی از این روش‌های است که بر مبنای کنش بین مولکول‌های تشکیل‌دهنده غشاء عمل می‌کند [7-5]. دو روشی که بر مبنای فرضیات محیط پیوسته و به مدل‌های معادل منتهی می‌شوند عبارت است از: (الف) روش مستقیم مکانیکی با استفاده از تعادل نیرو و گشتاور [8-10]؛ (ب) روش تغییرات انرژی [11-12]. مدلی که در این مقاله ارائه شده از دسته اول است. مزایای روش کنونی نسبت به روش‌های پیشین اشاره شده ناشی

- تکامل دینامیکی: روش کنونی بر مبنای تعادل بین نیروهای ناشی از پتانسیل خمشی غشاء و اصطکاک سیال محیطی توسعه یافته است، ولی روش‌های پیش از این امکان محاسبه مسیر تکامل را ندارند و تنها حالت تعادلی نهایی را پیش‌بینی می‌کند. مرجع [13] به صراحت بیان داشته که چند پاسخ برای انتخاب پاسخ اصلی ارائه مشخص بدست آمده و معیاری برای انتخاب پاسخ اصلی ارائه نشده است. پیشتر در مرجع [14] اشاره شده که روش تکاملی به عنوان تعمیم روش تعادلی و معیار ارزیابی نتایج تعادلی است. پاسخ یکتا به ازای هر شرط اولیه برای رابطه تکاملی $\delta E_B / \delta \Gamma = d\Gamma / dt$ وجود دارد.

- اثر شکل اولیه: بررسی اثر انحنای ذاتی بدون در نظر گرفتن هیأت اولیه غشاء نتیجه روشی ندارد. انحنای محلی هر فاز در هیأت اولیه مشخص می‌شود تا پس از القای انحنا غشاء کوتاه‌ترین مسیر تغییر شکل را انتخاب کند. تاکنون تأثیر شکل اولیه غشاء بر چگونگی تبدیل شکل مطالعه نشده است.

مفهوم انحنای ذاتی به معنای انحنای ترجیحی غشاست که به دلیل عدم تقارن بین دولایه در غشاء القا شده است. این انحنا می‌تواند از عواملی مانند ترکیب‌های مختلف چربی، چسبیدن پروتئین بر لایه خارجی و یا وارد شدن گوهای پروتئین به درون غشاء ناشی شود [15]؛ عامل دیگر تغییر انحنای ذاتی غلظت قند در محلول محیطی است [16]. اثر انحنای ذاتی بر غشاهای زیستی به روش‌های مختلف بررسی شده است [17-19]. در مدل تعادلی وزیکول دوفازی نیز اثر انحنای ذاتی بررسی شده است [20,13]. بررسی انحنای ذاتی در قالب روش تکاملی و با در نظر گرفتن شکل اولیه مطالعه کامل‌تری را فراهم می‌کند. اثر ترکیبی عوامل یادشده در این تحقیق در نظر گرفته شده است.

در این مقاله ابتدا هندسه و سرعت غشای وزیکول معرفی شده است؛ سپس مدل تکاملی شامل تعادل نیروهای پتانسیل خمشی و اصطکاک محیطی و معادلات حاصل از این تعادل به همراه روابط تعادل در مرز فاraphا به صورت مختصر ارائه می‌شود (این مدل در مرجع [14] به طور کامل تشریح

¹ budding

² fusion

³ fission

⁴ Helfrich

$$\frac{\delta E_B}{\delta \Gamma} = -kv \quad (15)$$

رابطه (15) درباره وزیکول همگن در حالت کاملاً آزاد و بدون قید است که به یک غشاء کاملاً نفوذپذیر و تراوا مربوط می‌شود. با توجه به رفتار غشاء فرض سطح ثابت^۱ و حجم ثابت^۲ برای وزیکول در نظر گرفته می‌شود. ضرایب لاگرانژ در مدل دینامیکی برای تحمیل قیود حجم و مساحت به صورت رابطه (16) به کار می‌روند.

$$kv = -\frac{\delta E_B}{\delta \Gamma} - P + \tau H \quad (16)$$

اختلاف فشار داخل و خارج غشا و τ نیز قرینه کشیده $P(t)$ در هر دامنه وزیکول دوفازی است که این قیود در هر گام زمانی محاسبه می‌شوند. با محاسبه مشتقات براساس روش مرجع [14] و فرض سختی خمسی ثابت در نهایت معادله دیفرانسیل حاکم بر هر دامنه از وزیکول به صورت رابطه (17) خواهد بود.

$$k \left[-\frac{dr}{dt} \sin \psi + \frac{dz}{dt} \cos \psi \right] = -\kappa^{(i)} (H^{(i)} - C^{(i)})'' + (H^{(i)} - C^{(i)})' \frac{\cos \psi}{r} - \frac{1}{2} \kappa^{(i)} (H^{(i)} - C^{(i)}) \left[(H^{(i)})^2 - 4K^{(i)} + H^{(i)} C^{(i)} \right] - P + \tau^{(i)} H^{(i)} \quad (17)$$

که $K = \psi'(\sin \psi)/r$ انحنای انحنای گوسی^۳ غواست. از آنجایی که مدل حاضر تغییر شکل غشا را پس از اعمال انحنای ذاتی شبیه‌سازی می‌نماید و مدل سازی تحت اثر خاصیت الاستیک خمسی انجام می‌شود، طبق مرجع [19] مقیاس زمانی این شبیه‌سازی برابر رابطه (18) است.

$$\bar{t} = \frac{A\mu}{\kappa} \quad (18)$$

در آن $\mu \sim 10^{-10} \text{ Js/m}^2$ و بسکوزیته برشی تک لایه، $J \sim 10^{-19}$ سختی خمسی و A مساحت غشاست و با فرض $.10^{-6} < R < 10^{-5} \text{ m}$ داریم $.10^{-12} < A < 10^{-10} \text{ m}^2$. مقیاس زمانی مسائل قابل حل با این شبیه‌سازی از مرتبه s^{-3} ($\bar{t} < 10^{-1} s$ بسته به هندسه غشا) است.

۳-۲- شرایط اتصال^۴

تضمین تعادل فازها نیازمند تعیین شرایط در ناحیه اتصال بین فازی است. براساس روش ارائه شده در مرجع [8] شروط سه‌گانه اتصال در مرز را با در نظر گرفتن انحنای ذاتی می‌توان به صورت روابط (21-19) نوشت (شکل 2).
 $T_s^{s-} - T_s^{s+} - \sigma \frac{\cos \psi}{r} = 0 \quad (19)$
 $Q_s^+ - Q_s^- - \sigma \frac{\sin \psi}{r} = 0 \quad (20)$
 $M_s^{s+} - M_s^{s-} = 0 \quad (21)$

در این روابط در هر فاز T_s^s و M_s^s به ترتیب تنش درون سطوحی، تنش برشی و گشتاور خمسی هستند که با در نظر گرفتن انحنای ذاتی به صورت روابط (22-24) بیان می‌کنیم.

$$T_s^s = \kappa(H - C) \left[\psi' - \frac{(H - C)}{2} \right] - \tau \quad (22)$$

$$Q_s = \kappa(H - C)' \quad (23)$$

$$M_s^s = \kappa(H - C) + \kappa_G \frac{\sin \psi}{r} \quad (24)$$

$$\hat{e}_1 = \frac{\partial X}{\partial S} = \{r' \cos \theta, r' \sin \theta, z'\} \\ = \{\cos \psi \cos \theta, \cos \psi \sin \theta, \sin \psi\} \quad (4)$$

$$\hat{e}_2 = \frac{\partial X}{\partial \theta} = \left(\frac{1}{r} \right) \{-r \sin \theta, r \cos \theta, 0\} \\ = \{-\sin \theta, \cos \theta, 0\} \quad (5)$$

بردار عمودی سطح با استفاده از پایه معتمد فوق به صورت رابطه (6) ساخته می‌شود.

$$\hat{n} = \hat{e}_1 \hat{e}_2 = \{-\sin \psi \cos \theta, -\sin \psi \sin \theta, \cos \psi\} \quad (6)$$

طول مقیاس R_0 برای هندسه وزیکول دوفازی مترانه به نحوی تعريف می‌شود که این طول مقیاس شعاع کره‌ای است که سطحی برابر با کل سطح وزیکول دوجزئی به صورت روابط (7) دارد.

$$A^{(1)} + A^{(2)} = 4\pi R_0^2 \quad (7)$$

$$v = \frac{4\pi}{3} R_0^3 \quad (8)$$

$$x^{(i)} = \frac{A^{(i)}}{4\pi R_0^2} \quad (9)$$

مساحت هر فاز، $x^{(i)}$ کسر مساحت هر فاز نسبت به مساحت کره معادل و v حجم کاهش یافته کل وزیکول نسبت به کره مذکور است. از آن جایی که بیشترین حجم محصور در هر سطح مشخص برابر با حجم کره معادل با آن مساحت است؛ همواره $1 \leq v \leq 0$ خواهد بود که $v = 1$ از وزیکول کروی است.

براساس تعريف، برای سرعت غشا، v_m رابطه (10) را داریم.

$$v_m = \frac{dX(s, \theta)}{dt} = v \hat{n} + T = \left\{ \frac{dr}{dt} \cos \theta, \frac{dr}{dt} \sin \theta, \frac{dz}{dt} \right\} \quad (10)$$

که T تصویر مماسی بردار سرعت بر سطح غشا و مؤلفه عمودی بردار سرعت، v ، برابر رابطه (11) است.

$$v_m = v \hat{n} = -\frac{dr}{dt} \sin \psi + \frac{dz}{dt} \cos \psi \quad (11)$$

۲- تعادل دینامیکی موضعی

با فرض ثابت ماندن سختی خمسی غشا، κ ، انرژی آزاد الاستیک، E_B متناسب با انتگرال مربع انحنای غشا Γ به صورت رابطه (12) است [4].

$$E_B = \frac{1}{2} \kappa \int_{\Gamma} (H - C)^2 dA \quad (12)$$

که در آن $H = 2h = \psi' + (\sin \psi)/r$ انحنای مجموع و انحنای ذاتی غشاست. انرژی پتانسیل رابطه (12)، مستقل از مسیر بوده و فقطتابع شکل غشا در هر موقعیت است [21]؛ بنابراین نیروی الاستیک متناظر با آن بر مبنای مشتق انرژی آزاد الاستیک نسبت به تغییرات سطح غشا به صورت رابطه (13) محاسبه می‌شود.

$$F_B = -\frac{\delta E_B}{\delta \Gamma} \quad (13)$$

با فرض کوچک بودن نیروی اینرسی غشا و نیز لزجت بسیار بالای سیال داخل و خارج غشا می‌توان از جرم غشا و دینامیک سیال محیط صرف نظر کرد. در مدل موردمطالعه سیال محیطی نیروی اصطکاک موضعی، F_v ، در جهت مخالف سرعت محلی غشا، v ، به آن وارد می‌کند که معمولاً به صورت رابطه (14) است.

$$F_v = -kv \quad (14)$$

با فرض $k > 0$ ، برای یک وزیکول همگن معادله تکاملی محلی از قانون نیوتون به صورت $0 = F_B + F_v$ به دست می‌آید که به رابطه (15) منتهی می‌شود:

¹ applicable surface

² isochoric

³ surface tension

⁴ Gaussian curvature

⁵ matching condition

برای نمونه انحنای ذاتی فاز 1 با حرکت از مبدأ مختصات (موقعیت صفر) در جهت 1 افزایش می‌باید، ولی انحنای ذاتی در فاز 2 صفر باقی می‌ماند. نمونه دیگر این که اندازه انحنای القاشه به فازها در امتداد جهت 7 برابر، ولی علامتشان قرینه است ($C^{(1)} > 0, C^{(2)} < 0$).

2-3- اثر ترکیبات انحنای ذاتی در فازها

در این بخش وابستگی تغییر شکل‌ها به هیأت اولیه وزیکول و پارامترهای مهم دیگر مانند نسبت اندازه هر فاز بررسی شده، همچنین اثر حضور پروتئین‌ها در قالب ترکیب انحنای ذاتی در هر دو دامنه نشان داده شده است. برای ارزیابی نتایج بدست آمده از مشاهدات آزمایشگاهی که پیش از این منتشر شده استفاده شده است. شرایط اولیه فرض شده شامل شکل‌های دمبلي، مقعرالطرفين و کروي که دارای حداقل انرژي بوده و به عنوان شکل‌های طبیعی وزیکول‌ها معروف شده و اختلاف آن‌ها نیز در حجم وزیکول است [21,12]. مطابق شکل 1 در تمام وزیکول‌های این مقاله ناحیه با خط توپر (آئيرنگ) نشان‌دهنده سطح فاز 1 و بخش خط‌چین (قمرزنگ)، فاز 2 است. در شکل‌های 5,4 نتایج برای شکل اولیه الف- مقعرالطرفین، ب- دمبلي و ج- کروي تخت نشان داده شده است. هر یک از حالات الف تا ج در شکل‌های 5,4 یک صفحه انحنای ذاتی برای یک وزیکول است و هیچ ارتباطي با دیگر حالات ندارد. هر حالت در شکل‌های 5,4 شامل تصویر 9 وزیکول که طبق تعریف شکل 3 در صفحه انحنای چیده شده است.

برای نمونه در شکل 4-الف برای وزیکول اولیه فرض شده (شکل نشان داده شده در مرکز صفحه انحنای ذاتی) که مقعرالطرفین است، تصاویری در جهت‌های هشت‌گانه نمایش داده شده که هر کدام وزیکول نهایی حاصل از القای انحنای ذاتی در آن جهت است. تنها شباهت حالات الف تا ج از شکل 4 (به عنوان نمونه)، برابر بودن نسبت اندازه فازهای است. این شباهت بین حالات شکل 5 نیز برقرار است.

در شکل 4 با $C^{(1)} = 0.5$ ، اندازه دو فاز برابر است. با این شرایط اگر فازها به صورت مشابه تحت اثر انحنای ذاتی قرار گیرند، شکل وزیکول‌های نهایی نیز حول خط $C^{(1)} = C^{(2)}$ مشابه است. به عنوان نمونه در شکل 4 ج که شکل اولیه دمبلي است، انحنای ذاتی در جهت‌های 7 و 8 برابر و قرینه که سبب شده است شکل وزیکول‌های نهایی کاملاً مشابه و معکوس یکدیگر باشند. این رفتار در هر سه حالت الف تا ج و در جهت‌هایی که نسبت به راستای خط $C^{(1)} = C^{(2)}$ (امتداد جهت‌های 5 و 6) متقابله اتفاق افتاده است (مثالاً جهت‌های 1 و 3 نسبت به خط $C^{(1)} = C^{(2)}$ متقابله و نیز جهت‌های 2 و 4).

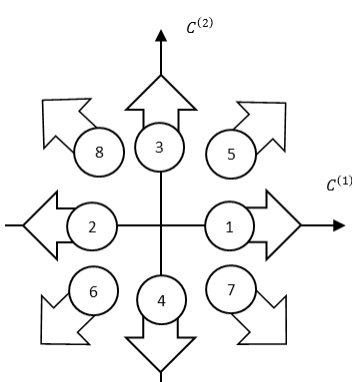


Fig. 3 Curvature change directions on $C^{(1)} - C^{(2)}$ plane

شکل 3 جهت‌های تغییر انحنای در صفحه مختصات انحنای ذاتی $C^{(1)} - C^{(2)}$

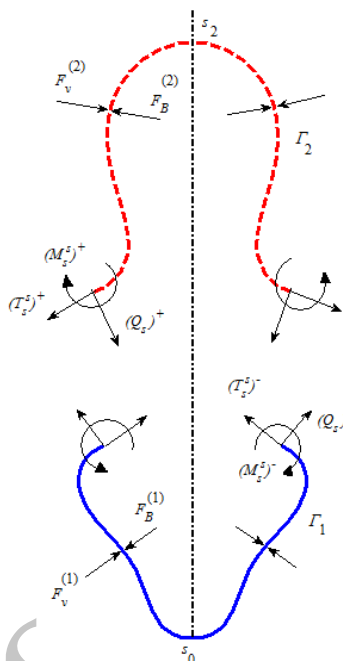


Fig. 2 نیروها در سطح غشای فازها و عکس عملهای ناحیه اتصال

علامت - و + نیز بیانگر کمی پیش و پس از ناحیه اتصال است. حل عددی با تدوین کد محاسباتی در متلب¹ و به کمک حلگر bvp4c (مخصوص حل مسائل مقدار مرزی دونقطه‌ای) انجام می‌شود. روش حل عددی در مرجع [14] تشریح شده است.

3- نتایج و بحث

3-1- صفحه مختصات انحنای ذاتی

همچنان که جهت اصلی در صفحه مختصات انحنای ذاتی، $C^{(1)} - C^{(2)}$ برای بررسی اثر ترکیبات مختلف انحنای ذاتی در دامنه‌ها در نظر گرفته شده است (شکل 3). محور افقی در این صفحه میان انحنای ذاتی در فاز 1، $C^{(1)}$ ، و محور عمودی انحنای ذاتی در فاز 2، $C^{(2)}$ است. سمت راست جهت مثبت محور افقی و جهت مثبت محور عمودی به طرف بالاست. علامت قراردادی برای انحنای ذاتی مثبت و برای انحنای ذاتی منفی در نظر گرفته می‌شود. در صفحه انحنای روی هر محور مقدار انحنای ذاتی دیگر صفر است. در مبدأ مختصات موقعیت صفر هیأت اولیه مفروض نمایش داده می‌شود. جهات

نشان داده شده در شکل 3 به شرح زیر است:

- موقعیت صفر: شکل وزیکول اولیه با $C^{(1)} = 0, C^{(2)} = 0$
- $C^{(1)} > 0, C^{(2)} = 0 : 1$ جهت 1
- $C^{(1)} < 0, C^{(2)} = 0 : 2$ جهت 2
- $C^{(1)} = 0, C^{(2)} > 0 : 3$ جهت 3
- $C^{(1)} = 0, C^{(2)} < 0 : 4$ جهت 4
- $C^{(1)} = C^{(2)}, C^{(1)} > 0, C^{(2)} > 0 : 5$ جهت 5
- $C^{(1)} = C^{(2)}, C^{(1)} < 0, C^{(2)} < 0 : 6$ جهت 6
- $|C^{(1)}| = |C^{(2)}|, C^{(1)} > 0, C^{(2)} < 0 : 7$ جهت 7
- $|C^{(1)}| = |C^{(2)}|, C^{(1)} < 0, C^{(2)} > 0 : 8$ جهت 8

¹ MATLAB

انحنای محلی اولیه نیز مثبت و غشاء محدب بوده است، ولی در وزیکول مقعرالطرفین (شکل 4-الف) تقرع اولیه و محلی سطح غشاء سبب می‌شود که وزیکول جوانه‌زده در ناحیه با انحنای منفی تشکیل شود که این امر منجر به جوانه‌زنی غشاء به سمت داخل می‌شود. درصورتی که غشاء جوانه‌زده جدا شود اصطلاحاً درون‌بری^۱ اتفاق می‌افتد.

اثر شکل اولیه در بررسی جهت‌های ۱ از شکل ۴-الف و ب نیز جالب

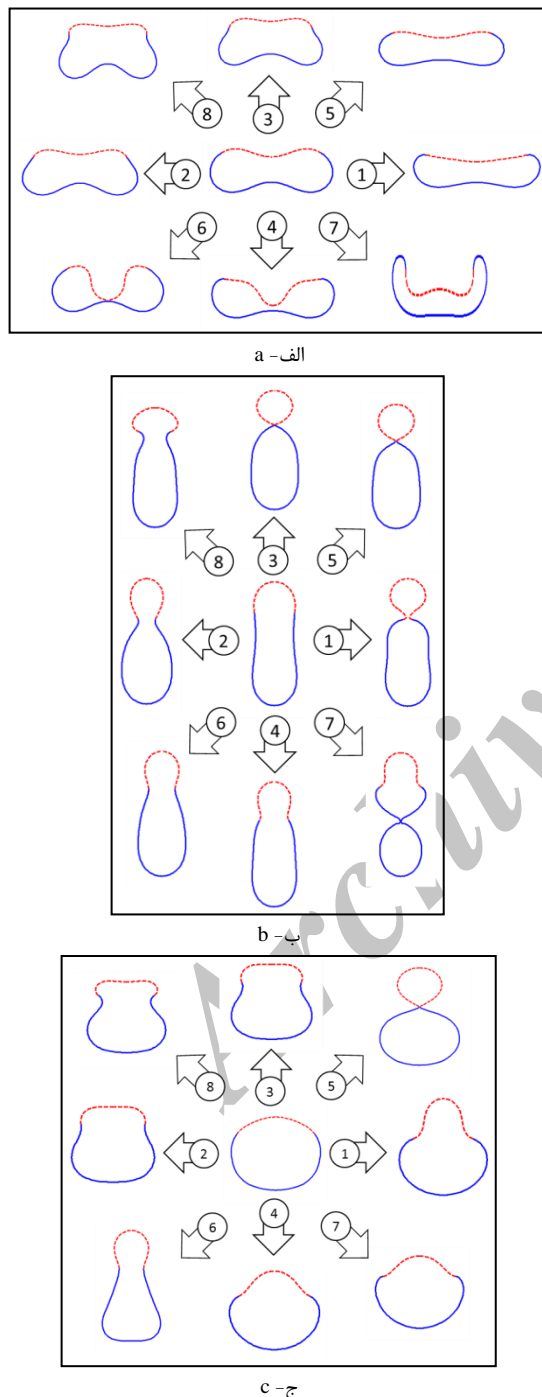


Fig. 5 Vesicle with $x^{(1)} = 0.75$ in curvature plane and different initial configurations (a) biconcave (b) dumbbell (c) oblate

شکل ۵ وزیکول با کسر سطحی $x^{(1)} = 0.75$ در صفحه مختصات انحنا برای هیأت‌های اولیه مختلف:الف- مقعرالطرفین، ب- دمبلي، ج- کروي تخت

¹ endocytosis

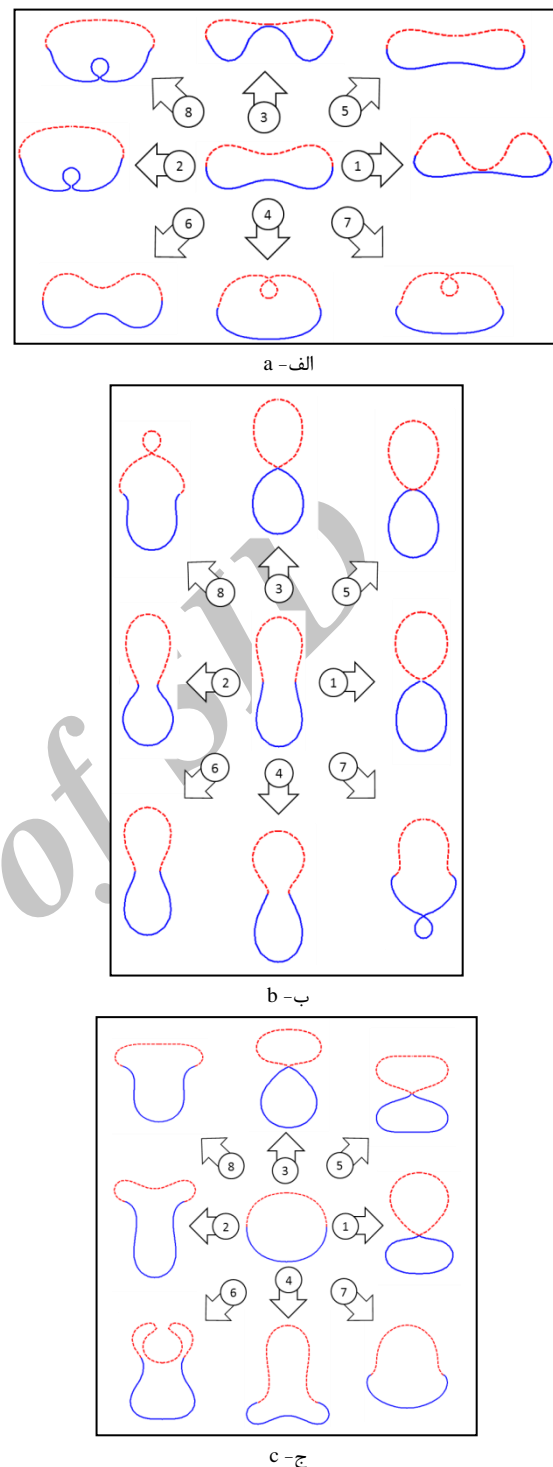


Fig. 4 Vesicle with $x^{(1)} = 0.5$ in curvature plane and different initial configurations: a- biconcave, b- dumbbell, c- oblate

شکل ۴ وزیکول با کسر سطحی $x^{(1)} = 0.5$ در صفحه مختصات انحنا برای هیأت‌های اولیه مختلف:الف- مقعرالطرفین، ب- دمبلي، ج- کروي تخت

مقایسه نتایج در شکل ۴-الف و ب می‌تواند تأثیر شکل اولیه بر هیأت‌های وزیکول را آشکار کند؛ موضوعی که پیش از این کمتر به آن پرداخته شده است. وقتی وزیکول اولیه دمبلي باشد (شکل ۴-ب) با حرکت در جهت ۷ $C^{(1)} > 0, C^{(2)} | = |C^{(2)}|$ بخشی از غشاء از ناحیه با انحنای ذاتی مثبت (فار ۱) به سمت بیرون وزیکول جوانه می‌زند؛ چون

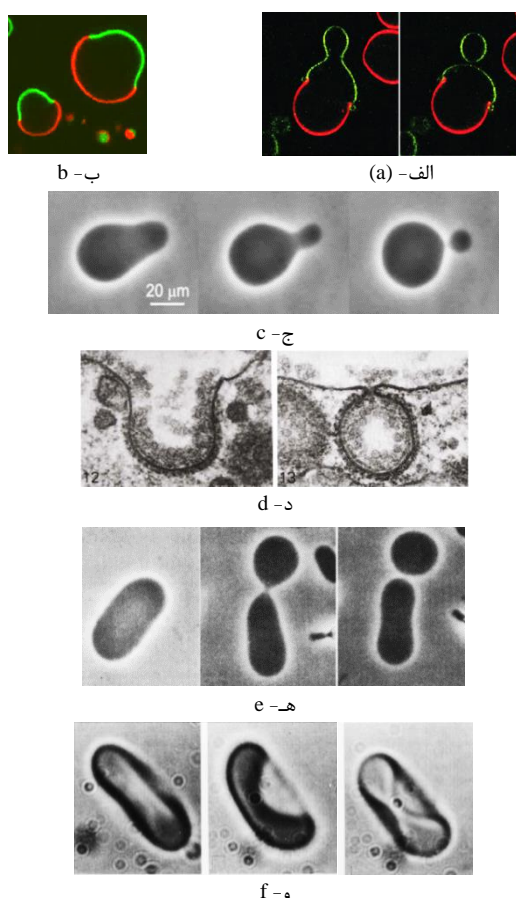


Fig. 7 Experimental observations by a, b- two-phase vesicle [22,27], c, d- budding: from vesicle [23] and from flat membrane [25], e- dumbbell form vesicle [24], f- red blood cell under influence of albumin [26]

شکل 7 شواهد آزمایشگاهی: الف و ب- وزیکول دوفازی [27,22]، ج، د- جوانهزنی: از وزیکول [23] و از غشاء مسطح [25]، ه- غشاء دمبلی [24]، و- گلوبول قرمز تحت اثر پروتئین غشائی [26]

به این ترتیب انرژی غشاء به حداقل ممکن می‌رسد.

3-3- پدیده‌های غشایی

در شکل 7 برخی پدیده‌های غشایی ثبت شده از آزمایش نشان داده شده است. در این پدیده‌ها القای انحنا به غشاء از روش‌های متنوع مانند تشکیل غشاء چری دوفازی به کمک الکتروفیوزن [22]، تغییر غلظت محلول محیطی [24,23] و اثر پروتئین‌های غشائی مانند آلبومین^۱ [26,25] انجام شده است. مقایسه هریک از این شکل‌ها با نتایج شبیه‌سازی نشانگر شباهت قابل توجه بین شبیه سازی ارائه شده واقعیت است.

برای نمونه جهت 1 در شکل 4-الف با شکل 7-و، جهت 7 در شکل 4-ب با شکل 7-الف مشابه است. جهت‌های 2 و 7 در شکل 4-الف با شکل 5-د به صورت موضعی در جوانهزنی غشا شباهت دارند. شکل وزیکول‌ها در جهت 7 از شکل 4-ج نیز انطباق مطلوبی با وزیکول‌های دوفازی شکل 7-ب دارند، همچنین شکل وزیکول‌ها در جهت‌های 1، 5 و 7 از شکل 5-الف شبیه وضعیت‌های ثبت شده از گلوبول قرمز در شکل 7-و است. شکل غشاء جهت‌های 1 و 5 از شکل 5-ب به طور قابل توجهی نزدیک به رفتار غشا در

توجه است. در جهت 1 از شکل 4-ب با القای انحنای ثبت به فاز 1 در وزیکول دمبلی و انحنای ذاتی صفر در فاز 2 گردن غشاء (باریک‌ترین ناحیه) در مرز دو دامنه وزیکول ایجاد می‌شود و با فرض این که این تغییر شکل به تقسیم غشاء از ناحیه گردن ختم شود، دو وزیکول همگن به وجود خواهد آمد. اگر به نیمه پایینی از وزیکول مقعر‌الطرفین انحنای ثبت القای کنیم (جهت 1 از شکل 4-الف) گردن غشاء در محلی ایجاد می‌شود که اگر غشاء دچار جدایش شود دو وزیکول دوفازی به وجود می‌آید.

شکل 5 برای شکل وزیکول‌های دوفازی با $x^{(1)} = 0.75$ است (یعنی 75% از سطح وزیکول را فاز 1 تشکیل می‌دهد). طبیعی است که به دلیل برابر نبودن اندازه فازها نتایج مانند شکل 4 دارای شباهت حول محور خاصی نیستند.

تفاوت عملکرد انحنای ذاتی ثبت و منفی بر تبدیل شکل غشاء در چیست؟ از آنجایی که وزیکول یک غشاء بسته و انحنای ثبت در یک سطح بسته غالب است، انحنای اولیه غشاء با انحنای القای همراه شده و سبب انحنای ثبت در کل دامنه می‌شود. در جهت‌های 1، 3 و 5 از شکل 4-ب و 5-ب، با کوچک‌شدن شعاع گردن در ناحیه اتصال، بیشتر سطح غشاء در نواحی دور از مرز انحنای ثبت داشته و تنها بخش کوچکی از غشاء در مجاورت مرز اتصال دارای انحنای منفی می‌شود. توزیع انحنای ثبت و منفی در شکل‌های مذکور در شکل 6-الف مشخص شده است. در مقابل در جهت‌های 2، 4 و 6 شکل 4-ب و شکل 5-ب شعاع ناحیه گردن خیلی کوچک نمی‌شود (مشابه شکل 6-ب). این امر سبب ایجاد انحنای منفی در ناحیه بزرگ‌تری از سطح غشاست که با انحنای ذاتی القای نیز تطابق دارد و

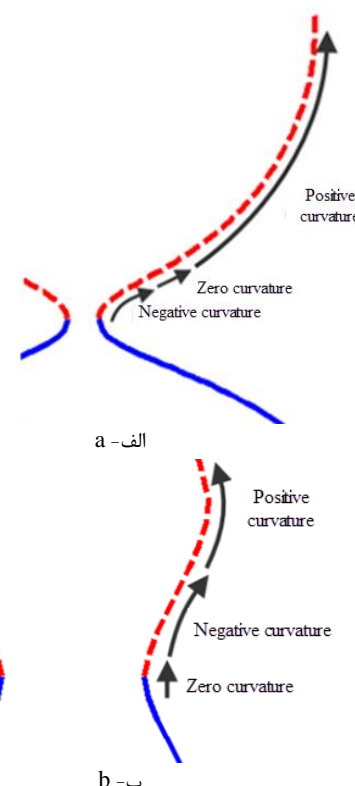


Fig. 6 a- A small neck radius with a very small fraction of negative curvature, b- A large neck radius with a significant fraction of negative curvature

شکل 6-الف- شعاع کوچک در ناحیه گردن و سهم اندک انحنای منفی، ب- شعاع بزرگ در ناحیه گردن و سهم قابل توجه انحنای منفی در غشا

^۱ albumin

اعمال انحنای مثبت به یک وزیکول مقعرالطرفین می‌تواند به تولید دو وزیکول کوچک‌تر دوفازی منجر شود.

5- مراجع

- [1] R. L. Knorr, R. Dimova, R. Lipowsky, Curvature of double-membrane organelles generated by changes in membrane size and composition, *PloS one*, Vol. 7, No. 3, 2012.
- [2] C. C. Vequi-Suplicy, K. A. Riske, R. L. Knorr, R. Dimova, Vesicles with charged domains, *Biochimica et Biophysica Acta (BBA)-Biomembranes*, Vol. 1798, No. 7, pp. 1338-1347, 2010.
- [3] S. T. Hess, M. V. Gudheti, M. Mlodzianoski, T. Baumgart, Shape analysis of giant vesicles with fluid phase coexistence by laser scanning microscopy to determine curvature, bending elasticity, and line tension, *Methods in Molecular Biology*, Vol. 400, pp. 367-387, 2007.
- [4] W. Helfrich, Elastic properties of lipid bilayers: theory and possible experiments, *Zeitschrift für Naturforschung. Teil C: Biochemie, Biophysik, Biologie, Virologie*, Vol. 28, No. 11, pp. 693, 1973.
- [5] H. Wang, D. Hu, P. Zhang, Measuring the spontaneous curvature of bilayer membranes by molecular dynamics simulations, *Communications in Computational physics*, Vol. 13, No. 04, pp. 1093-1106, 2013.
- [6] B. West, F. Schmid, Membrane-Protein Interactions in Lipid Bilayers: Molecular Simulation versus Elastic Theory, *NIC Symposium 2010: Proceedings*, Jülich, Germany, Vol. 3, pp. 279-286, 2010.
- [7] I. R. Cooke, M. Deserno, Coupling between lipid shape and membrane curvature, *Biophysical journal*, Vol. 91, No. 2, pp. 487-495, 2006.
- [8] T. Baumgart, S. Das, W. Webb, J. Jenkins, Membrane elasticity in giant vesicles with fluid phase coexistence, *Biophysical journal*, Vol. 89, No. 2, pp. 1067-1080, 2005.
- [9] E. A. Evans, Analysis of adhesion of large vesicles to surfaces, *Biophysical journal*, Vol. 31, No. 3, pp. 425, 1980.
- [10] T. R. Powers, G. Huber, R. E. Goldstein, Fluid-membrane tethers: minimal surfaces and elastic boundary layers, *Physical Review E*, Vol. 65, No. 4, pp. 041901, 2002.
- [11] P. B. Canham, The minimum energy of bending as a possible explanation of the biconcave shape of the human red blood cell, *Theoretical Biology*, Vol. 26, No. 1, pp. 61-81, 1970.
- [12] U. Seifert, Configurations of fluid membranes and vesicles, *Advances in physics*, Vol. 46, No. 1, pp. 13-137, 1997.
- [13] G. Cox, J. Lowengrub, The effect of spontaneous curvature on a two-phase vesicle, *Nonlinearity*, Vol. 28, No. 3, pp. 773-793, 2015.
- [14] M. Sahebifard, A. Shahidi, S. Ziae Rad, Two-phase vesicles: a study on evolutionary and stationary models, *European Biophysics journal*, pp. 1-8, 2016.
- [15] J. Zimmerberg, M. M. Kozlov, How proteins produce cellular membrane curvature, *Nature Reviews Molecular Cell Biology*, Vol. 7, No. 1, pp. 9-19, 2006.
- [16] H.-G. Döbereiner, O. Selchow, R. Lipowsky, Spontaneous curvature of fluid vesicles induced by trans-bilayer sugar asymmetry, *European Biophysics journal*, Vol. 28, No. 2, pp. 174-178, 1999.
- [17] A. Agrawal, D. J. Steigmann, Modeling protein-mediated morphology in biomembranes, *Biomechanics and modeling in mechanobiology*, Vol. 8, No. 5, pp. 371-379, 2009.
- [18] P. Rangamani, K. K. Mandadap, G. Oster, Protein-induced membrane curvature alters local membrane tension, *Biophysical journal*, Vol. 107, No. 3, pp. 751-762, 2014.
- [19] M. Rahimi, M. Arroyo, Shape dynamics, lipid hydrodynamics, and the complex viscoelasticity of bilayer membranes, *Physical Review E*, Vol. 86, No. 1, pp. 011932, 2012.
- [20] F. Jülicher, R. Lipowsky, Shape transformations of vesicles with intramembrane domains, *Physical Review E*, Vol. 53, No. 3, pp. 2670, 1996.
- [21] J. Jenkins, Static equilibrium configurations of a model red blood cell, *mathematical biology*, Vol. 4, No. 2, pp. 149-169, 1977.
- [22] K. A. Riske, N. Bezlyepkina, R. Lipowsky, R. Dimova, Electrofusion of model lipid membranes viewed with high temporal resolution, *Biophysical Reviews and Letters*, Vol. 1, No. 04, pp. 387-400, 2006.
- [23] R. Dimova, S. Aranda, N. Bezlyepkina, V. Nikolov, K. A. Riske, R. Lipowsky, A practical guide to giant vesicles, Probing the membrane nanoregime via optical microscopy, *Physics: Condensed Matter*, Vol. 18, No. 28, pp. S1151, 2006.
- [24] H. G. Döbereiner, J. Käss, D. Noppl, I. Sprenger, E. Sackmann, Budding and fission of vesicles, *Biophysical journal*, Vol. 65, No. 4, pp. 1396, 1993.
- [25] M. P. Perry, A. B. Gilbert, Yolk transport in the ovarian follicle of the hen (*Gallus domesticus*): lipoprotein-like particles at the periphery of the oocyte in the rapid growth phase, *cell science*, Vol. 39, No. 1, pp. 257-272, 1979.
- [26] A. W. Jay, Geometry of the human erythrocyte. I. Effect of albumin on cell geometry, *Biophysical Journal*, Vol. 15, No. 3, pp. 205, 1975.
- [27] A. J. García-Sáez, S. Chiantia, P. Schwille, Effect of line tension on the lateral organization of lipid membranes, *Biological Chemistry*, Vol. 282, No. 46, pp. 33537-33544, 2007.
- [28] H. J. Deuling, W. Helfrich, The curvature elasticity of fluid membranes: a catalogue of vesicle shapes. *Journal de Physique* Vol. 37, No. 11, pp. 1335-1345, 1976.

شکل 7-ج، ه است که در آن جوانه‌زنی تا دمبلي شدن و تقسيم غشاء پيشروي كرده است. نتائجي که از شباهت‌سازی‌ها نشان داده شده مربوط به آخرین گام‌های فرآيند تکامل تغيير شکل بوده و تصاویر مسیر تکامل بين شکل‌های اوليه و نهايی نمايش داده شده است که البته انطباق شباهت‌سازی و آزمایش‌ها بين تصاویر ميانی نيز وجود دارد.

خاصيت الاستيك خمشي غشا و فشار اسمزي نخستين عامل كنترل‌کننده شکل گلوبول قرمز در غياب نيروي خارجي است؛ بنابراین مدل مبتنی‌پر انرژي خمشي می‌تواند تخمين مناسبی برای شناخت رفتارهای گلوبول قرمز باشد [12, 28-30] و در اين قسمت نتائج مدل وزیکول دوفازی با گلوبول قرمز مقایسه شده است.

نکته قابل توجه اين که شکل وزیکول‌های آزمایشگاهی ثبت شده اغلب متناظر با جهات 1، 3 و 5 از صفحه انحنا يعني ناحيه با انحنای مثبت است و نتائج تجربی کمتری برای انحنای منفي وجود دارد. توع مکانيسیم‌های تشکیل انحنای مثبت و دشواری ايجاد انحنای منفي در وزیکول يك دليل اين موضوع است [32,31]. انحنای غشاء بسته ذاتاً مثبت است. دليل ديگر را می‌توان در سطح انرژي عوامل مولد انحنا جستجو کرد [33]. برخی پروتئين‌های غشائي مانند I-BAR از عوامل ايجاد انحنای منفي در غشاء‌های چربی است، ولی ايجاد انحنای منفي و تغيير شکل غشاء نياز به انرژي قابل توجهی دارد. ممکن است انرژي غشاء از انرژي چسبيدن پروتئين به غشاء بيشرت باشد و پيش از تكميل تغيير شکل غشاء پروتئين از سطح جدا شده و عامل القاي انحنا حذف شود.

4- جمع‌بندی

تغيير شکل وزیکول دوفازی با توجه به شريطي اوليه غشاء و كيفيت تحريك آن در قالب انحنای ذاتي بررسی شد. شباهت‌سازی تکاملی ديناميكي با توجه به عدم شفافيت روش‌های تعادلي مدل‌سازی انتخاب شد که بر مبنای تعادل بين نيروهای خمشي غشاء و اصطکاك سیال محیطی روی سطح عمل می‌کند. انواع مکانيسیم‌های تحريك هندسى غشاء بهصورت کمیت انحنای ذاتي دولایه چربی وارد مسئله شد. انحنای ذاتي به معنای انحنای ترجيحي است که به دليل عدم تقارن بين دولایه در غشاء به وجود می‌آيد.

شريطي اوليه فرض شده شامل شکل‌های ساده‌ای چون دمبلي، مقعرالطرفين و کروي تخت است که معمولاً وزیکول‌ها به اين شکل‌ها در وضعیت‌های آزاد مشاهده شده‌اند. با فرض شکل اوليه در واقع انحنای اوليه در هر ناحيه بهصورت محلی مشخص می‌شود. كنش بين انحنای اوليه و انحنای ذاتي القاشهه می‌تواند مسیر تکامل و شکل نهايی وزیکول را به درستی پيش‌بياني کند. نتائج شباهت‌سازی انجام‌شده در موارد متعدد و با فرضيات متفاوت در انطباق با نمونه‌های تجربی شامل وزیکول‌های همگن و غيرهمگن و حتی گلوبول قرمز قرار دارند. بررسی شکل وزیکول‌های به‌دست‌آمده و مرور آزمایش‌های منتشرشده نشان می‌دهد که انحنای ذاتي مثبت با سهولت بيشتری بر غشاء القا و موجب بروز پديده‌های متداولی چون جوانه‌زنی و جدايش می‌شود. يكى از دلایل عملکرد بهتر انحنای ذاتي مثبت در تغيير شکل وزیکول می‌تواند هم علامت بودن با انحنای مثبت در غشاء بسته باشد. از سوي ديگر تنوع مکانيسیم‌های اعمال انحنای مثبت بيشتر و امكان دسترسی به آن‌ها بهتر بوده و می‌توان بهصورت تجربى نيز آن‌ها را بازتولید و مشاهده کرد. اعمال انحنای ذاتي با توجه به انحنای اوليه غشا می‌تواند نتائج متفاوتی دربرداشته باشد. القاي انحنای ذاتي مثبت به يك دامنه از وزیکول دوفازی دمبلي می‌تواند دو وزیکول تک فاز کوچک‌تر ايجاد کند؛ در حالی که

- amphiphysin BAR structure, *Science*, Vol. 303, No. 5657, pp. 495-499, 2004.
- [32] P. K. Mattila, A. Pykäläinen, J. Saarikangas, V. O. Paavilainen, H. Vihtinen, E. Jokitalo, P. Lappalainen, Missing-in-metastasis and IRSp53 deform PI (4, 5) P2-rich membranes by an inverse BAR domain-like mechanism, *cell biology*, Vol. 176, No. 7, pp. 953-964, 2007.
- [33] P. Zhang, J. E. Hinshaw, Three-dimensional reconstruction of dynamin in the constricted state, *Nature cell biology*, Vol. 3, No. 10, pp. 922-926, 2001.
- [29] H. J. Deuling, W. Helfrich, Red blood cell shapes as explained on the basis of curvature elasticity, *Biophysical journal*, Vol. 16, No. 8, pp. 861-868, 1976.
- [30] H.W. Gerald Lim, M. Wortis, R. Mukhopadhyay, Stomatocyte-discocyte-echinocyte sequence of the human red blood cell: Evidence for the bilayer-couple hypothesis from membrane mechanics, *Proceedings of the National Academy of Sciences*, Vol. 99, No. 26, pp. 16766-16769, 2002.
- [31] B. J. Peter, H. M. Kent, I. G. Mills, Y. Vallis, P. J. G. Butler, P. R. Evans, H. T. McMahon, BAR domains as sensors of membrane curvature: the